

[9,8] کالیبراسیون فلومیترهای الکترومغناطیسی برای کانال با مقطع چهارگوش و سرباز با استفاده از شبکه‌های عصبی انجام شده است. در این مقاله، هدف آن است که افزون بر ارائه اصول کلی طراحی فلومیترهای الکترومغناطیسی با مقطع دایره‌ای شکل، چگونگی کالیبراسیون آنها را با استفاده از روش جدید شبکه‌های عصبی و با فرض مقطع دایره‌ای شکل لوله مورد نظر نشان دهیم. بدین منظور در بخش‌های (۲) و (۳)، اصول کلی و تحلیل فلومیترهای الکترومغناطیسی ارائه گردیده و با استفاده از نرم‌افزار Matlab طراحی فلومیتر الکترومغناطیسی در قالب یک برنامه m-file آورده شده است. سپس در بخش (۴)، نحوه کالیبراسیون فلومیترهای الکترومغناطیسی برای لوله با مقطع دایره‌ای بیان شده است. به‌منظور ارزیابی مطالب ارائه شده در بخش‌های (۳) و (۴)، در بخش (۵) نیز نتایج شبیه‌سازی طراحی فلومیتر الکترومغناطیسی و اثرات ضریب رسانایی و ارتفاع مایع در لوله بر ولتاژ القایی بین دو الکترود ارائه گردیده است. همچنین با توجه به غیرخطی بودن تابع ضریب تصحیح در کالیبراسیون فلومیتر و استفاده از شبکه عصبی پیشنهادی، این ضریب تصحیح به شکل مطلوب و دقیقی تعیین شده است. این موضوع باعث کاهش خطای در فلومیتر می‌شود.

اصول کلی عملکرد فلومیتر - تعاریف اساسی
عملکرد یک فلومیتر الکترومغناطیسی بر اساس قانون ولتاژ القاء فارادی می‌باشد. از میان آنالیزهای تئوریک دیده شده است که برای میدان‌های مغناطیسی پایا، سیگنال فلوی عبوری، متناسب با نرخ حجم عبوری فلوی سیال در پروفیل سرعت عبوری می‌باشد. وابستگی بین ولتاژ الکتریکی القاء شده Φ در ناحیه اندازه‌گیری به سرعت مایع \bar{U} (بر حسب متر) و چگالی میدان مغناطیسی \vec{B} (بر حسب تسلا) در شکل (۱) نشان داده شده است.

مقدمه

اساس عملکرد یک فلومیتر الکترومغناطیسی بر پایه ایجاد ولتاژ القایی ناشی از حرکت مایعات از میان یک میدان مغناطیسی ایجاد شده، است که با استفاده از قانون القای فارادی بیان می‌شود [3,1]. فلومیترهای الکترومغناطیسی به‌طور گسترده‌ای در اندازه‌گیری حجم شار قابل اندازه‌گیری در محیط صنعتی مورد استفاده قرار می‌گیرند که آن هم به‌خاطر دقت بسیار زیاد آنها می‌باشد. این خصوصیات، استفاده فلومیترهای صنعتی را برای سیالات مختلف و مسئله دار نظیر پس‌آب‌ها، خمیر کاغذ، مخلوط‌های غیریکنواخت در صنایع غذایی و غیره پیشنهاد می‌کند.

تاکنون تحقیقات زیادی در زمینه طراحی فلومیترهای الکترومغناطیسی و مسائل مربوط به آنها انجام شده است [11,1]. در مراجع [2,1] ایده‌ای اولیه به صورت تابع وزن دو بعدی ارائه شده است که درجه توزیع پروفیل سرعت مایع به سیگنال فلوی عبوری در مقطع عرضی لوله را نشان می‌دهد. همچنین مشخص شده است که برای یک فلومیتر با میدان مغناطیسی یکنواخت و الکترودهای نقطه‌ای، هر پروفیل فلوی خطی متقارن با سرعت متوسط عبوری U_m ، ولتاژی را به مقدار $\Delta U = Bu_m d$ ایجاد خواهد کرد [2,1]. البته ایده مفهوم جریان مجازی \bar{j} (Virtual Density Current) قابل توسعه است که در این حالت، شرایط برای یک فلومیتر ایده‌آل با یک سیال تراکم‌ناپذیر دارای $\text{curl} \bar{W} = 0$ می‌باشد. در این وضعیت، سیگنال در الکترودها متناسب با نرخ فلوی عبوری بدون در نظر گرفتن توزیع سرعت خواهد بود [3,5,6].

در مراجع [4,7] نحوه عملکرد یک فلومیتر الکترومغناطیسی برای یک لوله با مقطع دایره‌ای شکل ارائه شده است و این در حالی است که در مقاطع چهارگوش و سرباز، میزان ولتاژ القایی، مستقل از توزیع سرعت سیال می‌باشد [11,8]. همچنین در مراجع

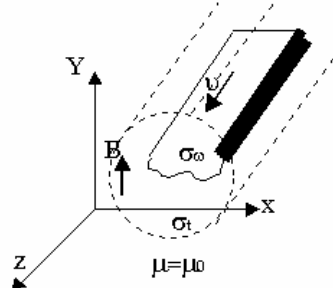
در درون سیال می‌گردد. تحت هر شرایطی، این میدان می‌تواند به صورت گرادیان پتانسیل الکتریکی ϕ بیان گردد. بدین ترتیب، ولتاژ القاء شده بین الکترودها در یک فلومیتر ساده را می‌توان به صورت زیر تعیین نمود:

$$\Delta U_{EE} = B \cdot d \cdot v_m = \frac{4B}{\pi \cdot d} Q \quad (1)$$

که در این رابطه، ΔU_{EE} و d به ترتیب اختلاف پتانسیل (بر حسب ولت) و فاصله بین دو الکترود (بر حسب متر) می‌باشد. همچنین v_m سرعت متوسط در مقطع عرضی (بر حسب متر بر ثانیه) و Q نرخ فلوی عبوری (بر حسب m^3/sec) می‌باشد. گفتنی است که ΔU_{EE} در معادله (1) به ضریب رسانایی الکتریکی، ویسکوزیته و فشار مایع عبوری وابسته می‌باشد. البته رابطه (1)، یک معادله اساسی برای فلومیتر است و زمانی این رابطه ساده برقرار خواهد بود که: ۱- میدان مغناطیسی یکنواخت باشد. ۲- پروفیل سرعت، متقارن باشد [7,5].

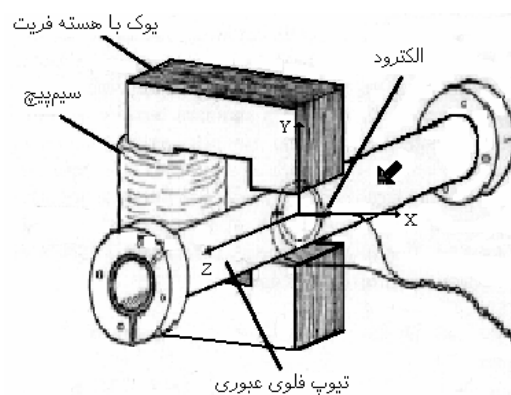
بنابر این، توضیح و شرح اصول عملکرد فلومیتر الکترومغناطیسی برای تعیین مشخصات الکتریکی و مغناطیسی محیط فلومیتر، لازم می‌باشد. از این‌رو، مایع عبوری به وسیله ضریب نفوذپذیری $\mu_0 = \mu$ مشخص شده است. ضریب رسانایی آب σ_w و دیواره لوله σ_t (که بر حسب زیمنس بر متر S/m می‌باشد) دارای خواص یکسان هستند و هیچ‌کدام تابعی از میدان مغناطیسی و چگالی شار مایع نمی‌باشند که این موضوع، اتفاقات اثر هال (Hall Effect) را به حساب نمی‌آورد [8,9]. نوع شار عبوری و میدان به کار رفته نیز اثرات خودالقائی را در خود نخواهد داشت.

از دیگر فرض‌هایی که برای ساده شدن طراحی در نظر گرفته شده، این است که بردار سرعت v را در سطح میدان مغناطیسی دارای یک مؤلفه در نظر گرفته‌ایم؛ یعنی بردار سرعت، دارای مؤلفه‌ای در راستای



شکل ۱ مدل الکتریکی فلومیتر الکترومغناطیسی

به طور کلی، برای یک فلومیتر الکترومغناطیسی متداول شامل قسمت‌هایی نظیر لوله با مقطع دایره‌ای برای عبور فلوی سیال و تولید کننده یک میدان مغناطیسی در مسیر فلوی سیال و یک جفت الکترود در دیواره لوله را می‌توان مانند شکل (2) در نظر گرفت. در صورتی که سیال در لوله‌ای با مقطع عرضی دایره‌ای شکل حرکت کند، آنگاه میدان مغناطیسی از یک سمت به سمت دیگر لوله (معمولًاً توسط سیم‌پیچ‌های تحریک با یک جریان متناوب) ایجاد می‌شود. لوله نیز باید از مواد غیرمغناطیسی ساخته شود، چرا که میدان مغناطیسی می‌تواند خود لوله را تحت تأثیر قرار دهد [4,1].

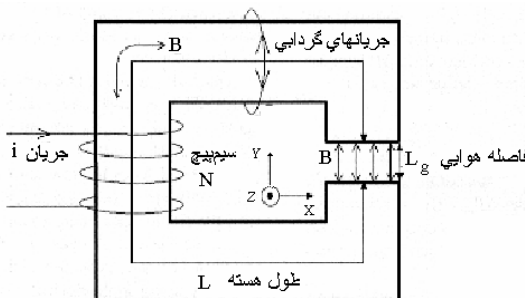


شکل ۲ شماتیک یک فلومیتر الکترومغناطیسی

فعل و افعالات میدان مغناطیسی با حرکت بارهای مثبت و منفی سیال و با استفاده از قانون لورنتز

طراحی فلومیتر الکترومغناطیسی برای ...

می‌شوند و الکترومگنت نیز از یک هسته نوع C-type و یک سیم‌پیچ با تعداد دور N تشکیل می‌گردد که این موارد را می‌توان در شکل (۳) مشاهده نمود.



شکل ۳ پارامترهای طراحی الکترومگنت فلومیتر

برای کاهش تلفات جریان‌های گردابی در هسته، آن را توسط مواد عایقی مناسب با توجه به کاربرد آنها، عایق‌بندی می‌کنند. با توجه به ساختار هسته و سیم‌پیچ فلومیتر، و با استفاده از قانون آمپر برای مدار مغناطیسی آن، تعداد دور سیم‌پیچ (N) و طول فاصله هوایی بین دو قطب (L_g) بر حسب متر تعیین می‌گردد. در معادله (۲)، رابطه تقریبی در طراحی پارامترهای یاد شده در الکترومگنت فلومیتر ارائه شده است:

$$\oint \frac{B}{\mu} dL = \frac{B}{\mu_{Fe}} L + \frac{B}{\mu_{air}} L_g = Ni \Rightarrow B = \frac{\mu_{air} Ni}{L_g} \quad (2)$$

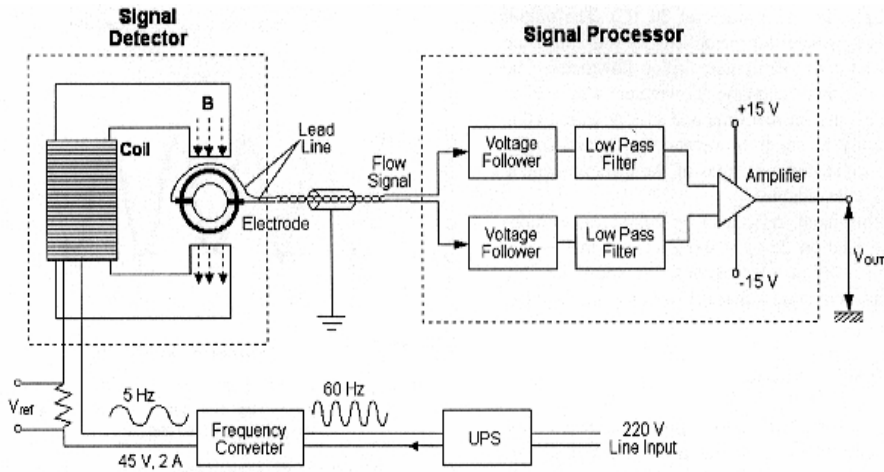
که در آن L طول هسته (بر حسب متر) و μ_{Fe} و μ_{air} ، به ترتیب، ضرایب نفوذپذیری هسته فریت و هوای می‌باشند. قسمت دوم یک فلومیتر الکترومغناطیسی، واحد پردازش سیگنال می‌باشد که در شکل (۴) نشان داده شده است. در این قسمت سیگنال آشکار شده (که معمولاً در حد میلی ولت می‌باشد و در مقایسه با ولتاژهای ناخواسته و نویزها بسیار کوچک می‌باشد) فیلتر گردیده و سپس تقویت می‌شود.

v_z است و در نتیجه $\partial v_z / \partial z = 0$ می‌باشد. البته بردار سرعت در حالت شرایط کاملاً توپر لوله تعریف شده است و آنالیز میدان مغناطیسی توزیع شده فقط می‌تواند به حالت پایدار محدود شود که این هم به خاطر بررسی در فرکانس پایین می‌باشد (یعنی $\partial v_z / \partial z = 0$ است که متغیر z، مقدار یا پارامتر اندازه‌گیری شده را نشان می‌دهد). [9,8]

آنالیز فلومیتر الکترومغناطیسی

در این مقاله، طراحی فلومیتر الکترومغناطیسی با استفاده از شبیه‌سازی کامپیوتری و برنامه‌نویسی m-file توسط نرم‌افزار Matlab ارائه می‌شود.

آشکارسازی و پردازش سیگنال خروجی. الکترومگنت یک فلومیتر الکترومغناطیسی می‌تواند توسط دو نوع سیستم تحریک AC و DC تغذیه گردد. از آنجا که بیشتر اندازه‌گیری‌ها روی سیالات با رسانایی کم انجام می‌گردد، می‌توان از سیستم تحریک سینوسی با استفاده به‌وسیله یک کنورتر فرکانسی و یک سیستم منبع تغذیه (Uninterrupted Power Supply UPS) بدون وقفه کنترل کرد. استفاده از تبدیل فرکانسی منبع تغذیه الکترومگنت فلومیتر، به خاطر کاهش پیک نویزهای ایجاد شده توسط ولتاژ AC می‌باشد که معمولاً به صورت سیگنال‌های خطأ در قسمت آشکارسازی این نوع فلومیترهای با تحریک AC بوجود می‌آید [1,2,7]. به طور کلی، فلومیترهای الکترومغناطیسی از دو قسمت آشکارسازی سیگنال (Signal Detecting Unit) و پردازش سیگنال (Signal Processing Unit) تشکیل می‌گردند. قسمت آشکارسازی سیگنال از بخش‌هایی نظیر یک لوله فلوئی سیال و غیر رسانا، الکترودها و یک الکترومگنت تشکیل شده است. الکترودها معمولاً به صورت قُبَّه‌ای شکل (Cupolar Shape) در نظر گرفته



شکل ۴ شماتیک دیاگرام واحد پردازش سیگنال

ناحیه اندازه‌گیری خواهد بود. در نتیجه، رابطه (۴) را می‌توان به صورت زیر نوشت:

$$U_e = w \cdot \int_V \vec{v} \cdot \vec{adv} \quad (6)$$

که در آن \vec{v} بردار واحد و موازی با بردار \vec{W} بوده و W نیز طول بردار \vec{W} می‌باشد.

محاسبه تابع توزیع وزن. طراحی ترانسیدیوسر اولیه برای یک لوله فلومیتر، محاسباتی را برای تابع توزیع وزن W درخواست می‌کند که به وسیله شکل ناحیه اندازه‌گیری، شکل و اندازه الکترودها و نرخ ضربی رسانائی مایع و دیواره لوله تعیین می‌گردد. سپس از یک عددی لوله برای حل معادله لاپلاس زیر استفاده می‌گردد:

$$\operatorname{div}(\sigma \operatorname{grad} \varphi) = 0 \quad (7)$$

با در نظر گرفتن شرایط حدی دیریکله (Dirichlet Conditions)، یعنی ولتاژ $\varphi = 0$ روی الکترود اول و $\varphi = 1$ روی الکترود دوم، تابع توزیع وزن به صورت زیر محاسبه می‌شود:

$$\vec{j} = -\alpha \cdot \sigma \cdot \operatorname{grad} \varphi \quad (8)$$

مدل ریاضی لوله فلوی عبوری. معادله اساسی در تئوری فلومیترهای الکترومغناطیسی توسط آقای شرکلیف (Shercliff) به صورت زیر داده شده است [1,2]:

$$\operatorname{div}(\sigma \operatorname{grad} \varphi) = \operatorname{div}[\sigma(\vec{v} \times \vec{B})] \quad (3)$$

که در آن σ ضربی رسانائی هم مایع و هم لوله می‌باشد. در نتیجه، ولتاژ القاء شده U_e بین دو نقطه در حجم ناحیه اندازه‌گیری (به عنوان مثال روی الکترودهای فلومیتر) به صورت زیر می‌باشد:

$$U_e = \varphi_{e_1} - \varphi_{e_2} = \int_V \vec{v} \cdot (\vec{B} \times \vec{j}) \cdot dv \quad (4)$$

در این رابطه V حجم ناحیه اندازه‌گیری و \vec{j} بردار چگالی جریان مجازی می‌باشد [1-10]. بردار $\vec{W} = \vec{B} \times \vec{j}$ نیز به عنوان تابع وزن، تعبیر شده که توسط آقایان بویر (Bevir) و شرکلیف بیان گردیده است [3,1]. حال اگر سیم پیچ تحریک فلومیتر، میدانی تولید کند که باعث شود تا بردار \vec{W} ثابت باشد، یعنی، $\vec{B} \times \vec{j} = \vec{W} = \text{const}$

آنگاه داخل محدوده حجم V ، ولتاژ بین الکترودها متناسب با سرعت متوسط شار عبوری در

طراحی فلومیتر الکترومغناطیسی برای ...

رسانائی مایع به دیواره لوله وابسته می‌باشد. از آنجا که تنظیم توزیع چگالی شار مغناطیسی \vec{B} نمی‌تواند به تنهایی و به طور کامل، بردار وزن \vec{W} را به شکل یکنواخت ایجاد کند، استفاده از یک تابع ضریب تصحیح برای کالیبراسیون مفید می‌باشد.

لازم به ذکر است که تعیین تابع انتقال فلومیتر و خطای اندازه‌گیری ایجاد شده توسط تغییر مشخصات فلوی عبوری در هر مرحله از طراحی، لازم است. روش کالیبراسیون خشک (Dry Calibration) براساس شبیه‌سازی عددی، به طراح این اجازه را می‌دهد که تابع انتقال را برای اندازه‌گیری خطای در تمام محدوده تغییرات در سطح مایع و ضرایب رسانائی مایع و بدنی لوله تخمین بزند.

تعیین تابع ضریب تصحیح، یک بخش جزیی از بهبود الگوریتم طراحی فلومیتر می‌باشد. بنابراین طراح، با توجه به یک بررسی محلی نسبت به تغییرات در بازه سطح مایع و ضرایب رسانائی می‌تواند مجموعه نتایجی به صورت یک فایل اطلاعاتی برای طراحی ساختار فلومیتر و توزیع چگالی شار مغناطیسی به دست آورد. آنالیزهای انجام گرفته منجر به ایجاد یک مجموعه روابط بین سیگنال فلوی سیال عبوری و متغیرهای مورد نظر خواهد گردید که به صورت زیر مشخص می‌شود:

$$Q = k \cdot k_{h\sigma} \cdot v_m \cdot h \quad (11)$$

در این رابطه Q فلوی عبوری (بر حسب m^3/sec)، k ، ثابت کالیبراسیون (بر حسب متر)، $k_{h\sigma}$ ضریب تصحیح، v_m سرعت متوسط (بر حسب m/sec) و h سطح مایع (بر حسب m) می‌باشد. همچنین ضریب تصحیح مورد نظر از رابطه زیر بدست می‌آید:

$$k_{h\sigma} = \frac{U(\sigma_{st}, h_{full})}{U(\sigma_n, h_n)} \quad (12)$$

که در این رابطه، $U(\sigma_{st}, h_{full})$ پتانسیل الکترود محاسبه شده برای مقدار متوسط ضرایب رسانائی مایع (σ_{st}) و دیواره لوله در حالت کاملاً توپر لوله است و

$$\vec{W} = \vec{B} \times \vec{j} \quad (9)$$

گفتنی است که ضریب α برای نرمالیزه کردن چگالی جریان کل عبوری از بین دو الکترود در نظر گرفته شده است که برابر خواهد بود با:

$$\alpha = \frac{1}{\int_{S_e} \sigma \cdot \frac{\partial \phi}{\partial n} ds} \quad (10)$$

در این رابطه، S_e سطح الکترود اندازه‌گیر و σ ضریب رسانائی سیال و دیواره لوله است.

کاربرد شبکه‌های عصبی در کالیبراسیون فلومیتر الکترومغناطیسی

کالیبراسیون فلومیترهای الکترومغناطیسی به عنوان یکی از مسائل مهم در روند طراحی آنها به حساب می‌آید. اهمیت این موضوع از آن جا ناشی می‌شود که ممکن است ضریب هدایت سیال، تغییر نماید و این موضوع، موجب تغییر در ولتاژ القاء شده می‌گردد. این در حالی است که تغییر ولتاژ، به معنای تغییر فلوی سیال می‌باشد و لذا این نوع تغییرات، نباید مقدار فلوی گذرنده را با عدد دیگری نشان دهد. از این رو، با اعمال ضریب کالیبراسیون به مقدار خوانده شده، می‌توانیم تأثیر تغییرات ضریب هدایت یا هر عامل دیگر را جبران نماییم. از آنجا که ضریب کالیبراسیون، تابعی غیرخطی از ضریب هدایت الکتریکی سیال و دیگر پارامترهای ممکن می‌باشد، ارائه رابطه‌ای که بتواند مقدار این ضریب را با توجه به ضریب هدایت الکتریکی و یا دیگر پارامترها محاسبه نماید، از اهمیت بسیار زیادی در روند طراحی برخوردار خواهد بود.

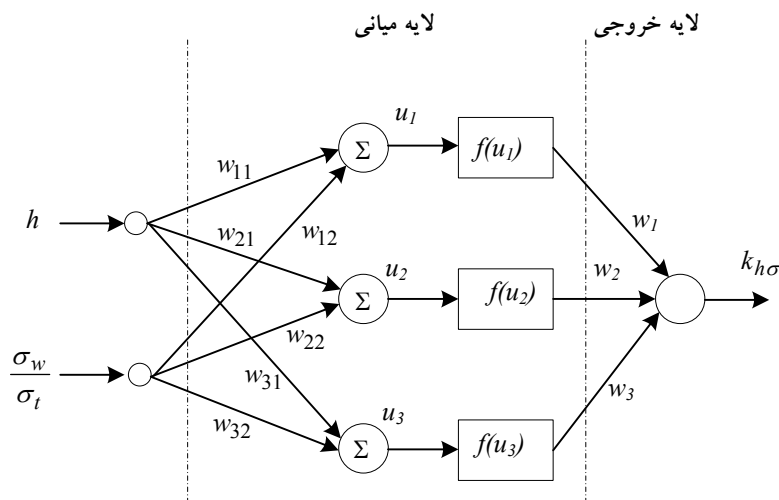
هدف اصلی در طراحی فلومیترهای استفاده شده در وضعیت لوله‌های کاملاً توپر، ساختن تابع توزیع وزن یکنواخت در درون آن می‌باشد. از آنجا که همواره وضعیت فلوی عبوری توپر در داخل لوله فلومیتر برقرار نمی‌باشد، مقادیر تابع توزیع وزن و فلوی عبوری داخل لوله، به تغییرات دو پارامتر سطح مایع و نسبت ضرایب

خروجی شبکه عصبی با استفاده از رابطه (۱۲) به دست می‌آید. این اطلاعات، در برنامه شبکه عصبی نوشته شده به عنوان تابع هدف یا خروجی مطلوب مورد استفاده قرار می‌گیرد. همچنین، ورودی‌های شبکه عصبی نیز سطح مایع و نسبت رسانایی مایع به دیواره لوله می‌باشد. بنابراین شکل ضریب تصحیح به دست آمده در خروجی این شبکه عصبی به صورت زیر خواهد بود:

$$\begin{aligned} k_{h\sigma} &= w_1 \cdot f(w_{11}h + w_{12} \frac{\sigma_w}{\sigma_t}) + \\ &w_2 \cdot f(w_{21}h + w_{22} \frac{\sigma_w}{\sigma_t}) + w_3 \cdot f(w_{31}h + w_{32} \frac{\sigma_w}{\sigma_t}) \end{aligned} \quad (13)$$

در این رابطه w_{ij} توابع وزن شبکه عصبی، $f = 1/(1 + e^{-u})$ تابع سیگموئیدال تک قطبی، h سطح مایع و σ_w, σ_t به ترتیب، ضرایب رسانایی دیواره لوله و مایع می‌باشند.

$U(\sigma_n, h_n)$ پتانسیل الکترود محاسبه شده برای سطح مایع h_n و ضریب رسانایی σ_n می‌باشد. از آنجا که این ضریب تصحیح، به صورت تابع غیرخطی پیچیده‌ای از سطح مایع و ضریب رسانایی می‌باشد (یعنی $f(h, \sigma) = f(h, \sigma_h)$ است)، لذا برای یافتن این تابع، از یک ساختار شبکه عصبی مصنوعی سه لایه پیشخورد TLANN (Three Layer Artificial Neural Network) استفاده می‌گردد. در این شبکه عصبی، نرون‌های لایه مخفی آن از تابع سیگموئیدال (Sigmoidal Activation Function) تبعیت می‌کند و نرون لایه خروجی نیز به صورت خطی است. این ساختار را می‌توان در شکل (۵) مشاهده نمود. ضرایب وزنی در این شبکه به وسیله روش پس‌انتشار خطای BPM (Back Propagation Method) انتخاب می‌گردند که با استفاده از اجرای برنامه کامپیوتری به ازای تغییرات سطح مایع همراه با تغییرات نسبت رسانایی مایع به دیواره لوله، اطلاعات لازم برای



شکل ۵ ساختار شبکه عصبی سه لایه پیشنهادی

با فرض آنکه میدان موردنظر، فاقد فضای باردار الکتریکی باشد، آنگاه خواهیم داشت:

$$V(i, j) = \frac{1}{4} [V(i+1, j) + V(i, j+1) + V(i-1, j) + V(i, j-1)] \quad (15)$$

در صورتی که تقسیم شبکه به صورت منظم و با اصلاح مساوی نباشد (یعنی $h_{g1} \neq h_{g2} \neq h_{g3} \neq h_{g4}$)، رابطه اخیر به شکل زیر تغییر می‌کند:

$$V(i, j) = \frac{\left\{ \left(\frac{V(i+1, j)}{h_{g3}} + \frac{V(i-1, j)}{h_{g1}} \right) / (h_{g1} + h_{g3}) \right\} + \left\{ \left(\frac{V(i, j+1)}{h_{g2}} + \frac{V(i, j-1)}{h_{g4}} \right) / (h_{g2} + h_{g4}) \right\}}{h_{g1} h_{g3} + h_{g2} h_{g4}} \quad (16)$$

همچنین رابطه (15) را می‌توان به شکل دیگری نیز، بر اساس ولتاژ نقاط چهارگوش اطراف نقطه (j, i) ، به صورت زیر، بیان نمود:

$$V(i, j) = \frac{1}{4} [V(i+1, j+1) + V(i+1, j-1) + V(i-1, j+1) + V(i-1, j-1)] \quad (17)$$

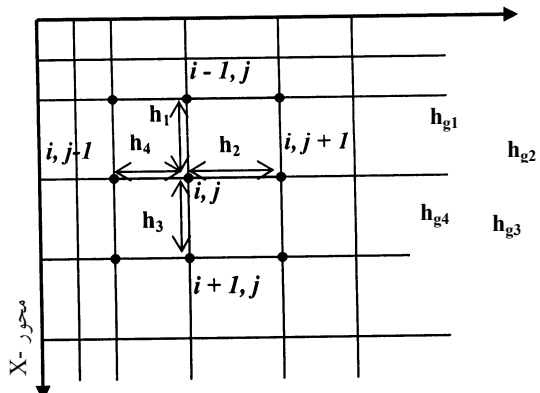
البته هرچه اصلاح شبکه، کوچکتر باشد، نتیجه دقیق‌تری در تعیین خطوط هم‌پتانسیل و خطوط میدان به دست می‌آید. در این روش، نخست پتانسیل تمام نقاط مجھول شبکه را به طور معقول تخمین زده و سپس با استفاده از روابط (15) یا (17)، پتانسیل تمام نقاط شبکه، مجددًا اصلاح می‌شوند. این روند، تا دستیابی به دقت موردنظر برای تعیین پتانسیل همه نقاط شبکه تکرار می‌گردد.

روش عددی حل مسئله

یکی از روش‌های اساسی در حل معادلات میدان‌های الکتریکی در فلومیترهای الکترومغناطیسی (معادله (۳)، استفاده از روش حل تفاضل محدود (FDM) می‌باشد. در این روش، معادلات یاد شده را به معادلات خطی تبدیل می‌کنیم که این کار با تقسیم ناحیه موردنظر به صورت شبکه‌های منظم و مطابق با شکل (۶) صورت می‌گیرد. با توجه به آنکه تغییرات پتانسیل در داخل میدان، به صورت پیوسته می‌باشد، لذا با استفاده از بسط سری تیلور حول هر نقطه (j, i) در شکل (۶) و استفاده از تقریب خطی، ولتاژ نقاط $(i+1, j)$ ، $(i, j+1)$ ، $(i+1, j+1)$ و $(i-1, j-1)$ با فرض $h_{g1} = h_{g2} = h_{g3} = h_{g4} = h_g$ به صورت زیر تعیین می‌گردد:

$$\begin{aligned} V(i+1, j) &= V(i, j) + h_g \cdot V_x(i, j) + \frac{1}{2} h_g^2 V_{xx}(i, j) \\ V(i, j+1) &= V(i, j) + h_g \cdot V_y(i, j) + \frac{1}{2} h_g^2 V_{yy}(i, j) \\ V(i-1, j) &= V(i, j) - h_g \cdot V_x(i, j) + \frac{1}{2} h_g^2 V_{xx}(i, j) \\ V(i, j-1) &= V(i, j) - h_g \cdot V_y(i, j) + \frac{1}{2} h_g^2 V_{yy}(i, j) \end{aligned} \quad (14)$$

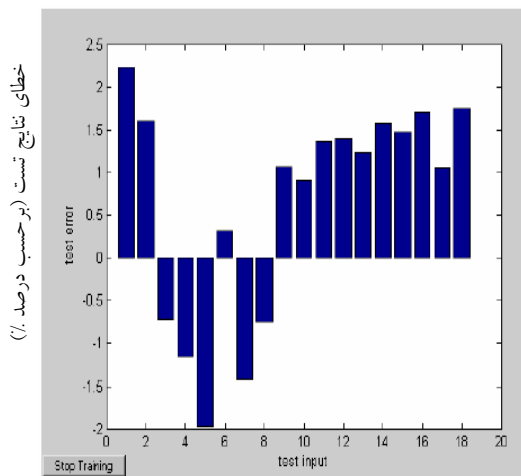
محور- Y-



شکل ۶ قسمتی از یک شبکه در استفاده از روش تفاضل محدود

تقسیم نماییم، آنگاه مجموعاً $200 = 5 \times 40$ حالت ایجاد می‌شود. از این ۲۰۰ حالت، ۱۸۲ حالت آن برای آموزش شبکه عصبی پیشنهادی مورد استفاده قرار می‌گیرد و ۱۸ حالت باقیمانده نیز برای آزمون شبکه به کار می‌رود. خطای ایجاد شده در ۱۸۲ حالت مربوط به آموزش شبکه عصبی مورد نظر در شکل (۷) نشان داده شده است. پس از آموزش مطلوب شبکه و به منظور آزمون آن در تعیین تابع ضریب تصحیح، ۱۸ حالت باقیمانده را به عنوان حالت‌های آزمون در نظر می‌گیریم که نتایج آن در جدول (۱) نشان داده شده است. همچنین خطای ارائه شده در جدول (۱) نیز در شکل (۸) به نمایش گذاشته شده است. تابع ضریب تصحیح به دست آمده پس از آموزش شبکه عصبی با ۱۸۲ حالت انتخابی و ۱۸ حالت برای آزمون شبکه عصبی به صورت زیر می‌باشد.

$$\begin{aligned} k_{h\sigma} &= 0.2332 \frac{1}{1 + e^{(-0.8846h - 2.1292(\sigma_w/\sigma_t))}} + \\ &5.2222 \frac{1}{1 + e^{(3.2627h - 5.8061(\sigma_w/\sigma_t))}} + \\ &0.8628 \frac{1}{1 + e^{(0.7366h - 2.7901(\sigma_w/\sigma_t))}} \end{aligned} \quad (18)$$

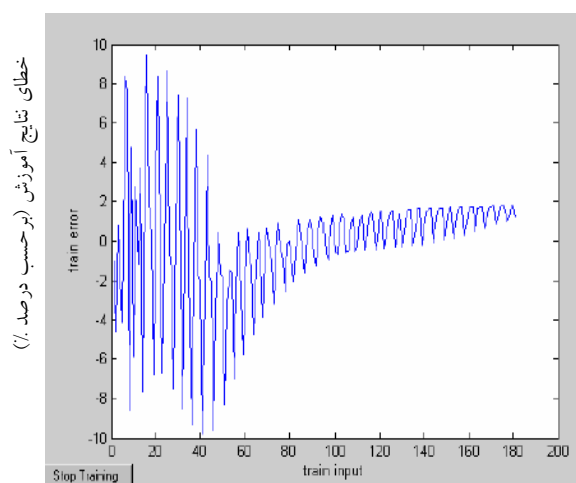


شکل ۸ نتایج تست شبکه عصبی با ۱۸ حالت

نتایج شبیه سازی

در این بخش، نتایج شبیه‌سازی طراحی و آنالیز یک فلومیتر الکترومغناطیسی ارائه شده است. برای افزایش دقیق در این نتایج، ابتدا با استفاده از شبکه‌های عصبی سه لایه و با کمک روش پس انتشار خط (BP)، ضریب تصحیح فلومیتر به شکل دقیق تعیین می‌شود. سپس با استفاده از روش تفاضل محدود (FDM)، دیگر نتایج تحلیل فلومیتر ارائه می‌گردد. این نتایج از قبیل محاسبه اختلاف پتانسیل بین دو الکترود و تابع توزیع وزن در حالت‌های مختلف سطح مایع، و اثرات ضریب رسانایی مایع عبوری و ارتفاع سطح مایع در ولتاژ القابی می‌باشد که در ادامه آورده خواهد شد.

تعیین ضریب تصحیح توسط شبکه عصبی. به منظور ایجاد ورودی‌های یک شبکه عصبی، داخل لوله نمونه را به ۱۰ قسمت تقسیم نموده و فرض می‌کنیم که یک مایع عبوری با ضریب رسانایی بین ۰/۰۱ تا ۰/۱ و در سطح مایع بین قسمت‌های ۵ تا ۱۰ از داخل لوله عبور نماید. با توجه به آنکه تغییرات ضریب رسانایی بین ۰/۰۱ تا ۰/۱ را به ۴۰ قسمت و سطح مایع بین ۵ تا ۱۰ را به ۵ قسمت



شکل ۷ نتایج آموزش شبکه عصبی با ۱۸۲ حالت

طراحی فلومیتر الکترومغناطیسی برای ...

تحلیلی محاسبه اختلاف پتانسیل بین دو الکترود و تغیرات آن به ازای عبور سیال مایع داخل لوله مورد بررسی قرار می‌گیرد. شکل‌های (۹) و (۱۰)، توزیع پتانسیل الکتریکی بین دو الکترود در ناحیه اندازه‌گیری شده از مقطع دایره‌ای را برای دو حالت دو بعدی و سه بعدی و برای دو حالت کاملاً توپر لوله و حالت $\%60$ سطح مایع نمایش می‌دهد. مکان دو الکترود در صفحه (x-y) بر روی موقعیت (۱)، (۶) و (۱۱) می‌باشد که پتانسیل دو الکترود به ترتیب برای یک و صفر پریونیت در نظر گرفته شده است. همان‌گونه که در این دو شکل مشاهده می‌شود، خطوط هم‌پتانسیل در اطراف الکترود ۱pu بسیار فشرده بوده و هر چه به سمت الکترود با ولتاژ صفر پریونیت می‌رویم، از این تراکم خطوط، کاسته می‌شود. البته در حالتی که لوله کاملاً توپر باشد، توزیع پتانسیل الکتریکی به صورت متقارن می‌باشد که در شکل (۹) مشخص است. این در حالی است که در حالت لوله با $\%60$ سطح مایع، حالت‌های ناهمگون فلوی عبوری بخوبی نمایان است که تاثیر ضریب رسانایی مایع عبوری را نسبت به ضریب رسانایی هوا (که همان $\%40$ بالای سطح مایع است) نشان می‌دهد.

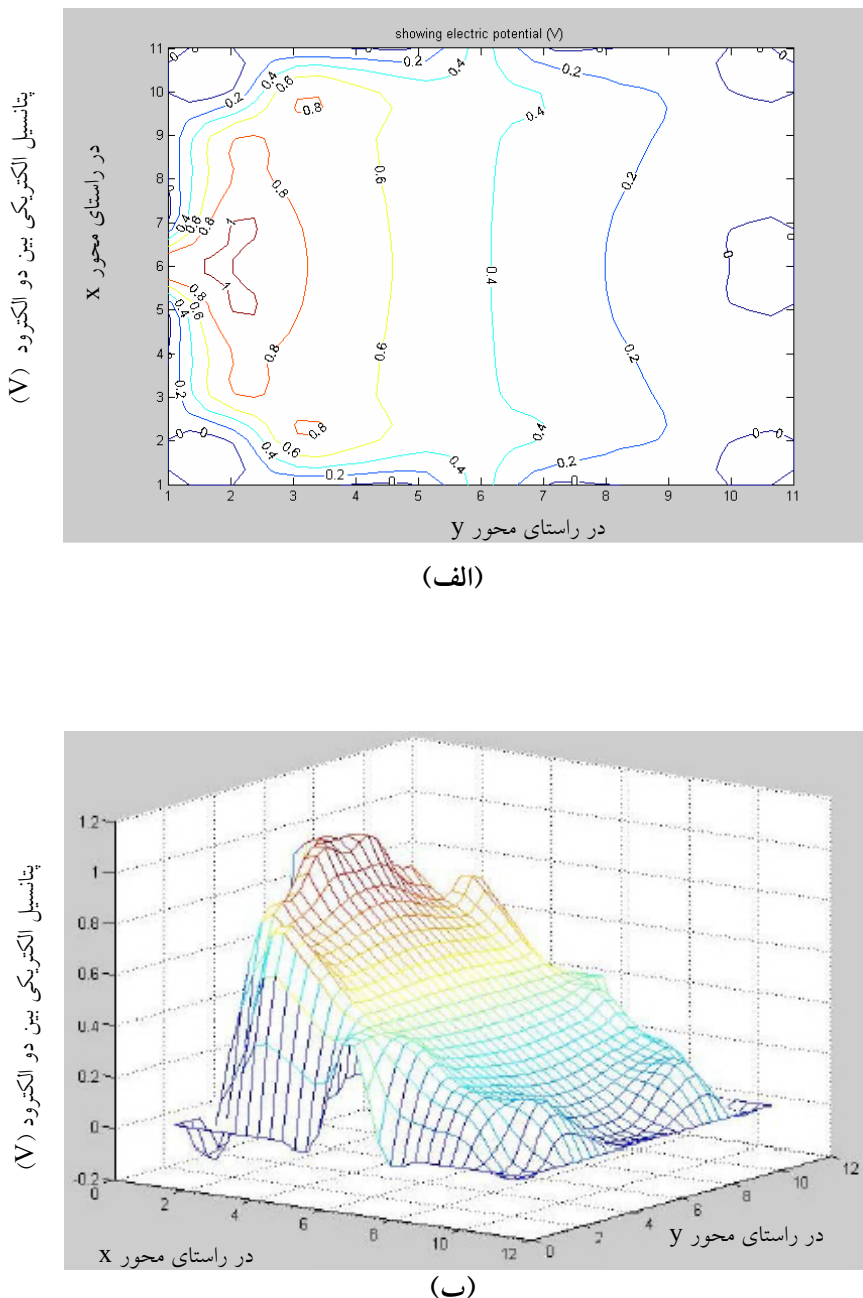
تغیرات تابع توزیع وزن بین دو الکترود در حالت‌های مختلف سطح مایع. در شکل‌های (۱۱) و (۱۲)، نحوه تغیرات تابع توزیع وزن شرکلیف در دو حالت کاملاً توپر لوله و $\%60$ سطح مایع داخل لوله نشان داده شده است. در شکل (۱۱) با توجه به ساختار لوله و شرایط کاملاً توپر لوله، تابع توزیع وزن بدون درنظر گرفتن ضریب α برای نرم‌الیزه کردن جریان بخوبی مشخص شده است. همچنین در شکل (۱۲) مشخص می‌شود که در حالت توپر نبودن فلوی عبوری سیال در لوله، نمی‌توان پروفیل تابع توزیع وزن متقارن را برای لوله فلومیتر ارائه نمود. بعلاوه در این وضعیت، نمی‌توان تشخیص داد که در کدام قسمت از لوله، سرعت سیال

جدول ۱ نتایج آزمون شبکه عصبی برای ۱۸ حالت

آزمون	حالات	شبکه عصبی	خرنوجی خروجی	خرنوجی واقعی	مقدار خطأ (%)
۱		۱۳/۷۱۰۹۶	۱۴۰۲۳۳	۱۴۰۲۳۳	۲/۲۲۷۳
۲		۹/۴۵۹۱۸	۹/۶۱۲۸	۹/۶۱۲۸	۱/۵۹۸۱
۳		۶/۰۰۹۱۶	۵/۹۶۵۶	۵/۹۶۵۶	-۰/۷۳۰۲
۴		۴/۶۴۲۲۴	۴/۵۸۸۷	۴/۵۸۸۷	-۱/۱۶۸۹
۵		۳/۸۳۹۴۶	۳/۷۹۸۷	۳/۷۹۸۷	-۱/۰۷۲۹
۶		۳/۵۷۸۹۳	۳/۵۸۹۹	۳/۵۸۹۹	۰/۳۰۵۶
۷		۱/۶۱۳۷۰	۱/۵۹۱۰	۱/۵۹۱۰	-۱/۴۲۶۸
۸		۱/۲۸۱۳۵	۱/۲۷۱۷	۱/۲۷۱۷	-۰/۷۵۸۸
۹		۱/۰۸۴۹۲	۱/۰۹۶۵	۱/۰۹۶۵	۱/۰۵۶۱
۱۰		۰/۶۷۹۰۲	۰/۶۸۵۲	۰/۶۸۵۲	۰/۹۰۲۰
۱۱		۰/۷۲۶۷۴	۰/۷۳۶۸	۰/۷۳۶۸	۱/۳۶۵۴
۱۲		۰/۶۹۸۴۳	۰/۷۰۸۳	۰/۷۰۸۳	۱/۳۹۳۲
۱۳		۰/۸۶۲۶۸	۰/۸۷۳۴	۰/۸۷۳۴	۱/۲۲۷۸
۱۴		۰/۴۶۰۴۳	۰/۴۶۷۸	۰/۴۶۷۸	۱/۵۷۴۵
۱۵		۰/۶۲۸۱۸	۰/۶۳۷۵	۰/۶۳۷۵	۱/۴۶۳۳
۱۶		۰/۳۷۴۶۹	۰/۳۸۱۲	۰/۳۸۱۲	۱/۷۰۸۸
۱۷		۱/۰۳۹۵۷	۱/۰۵۰۶	۱/۰۵۰۶	۱/۱۰۰۱
۱۸		۰/۳۵۵۹۰	۰/۳۶۲۲	۰/۳۶۲۲	۱/۷۳۸۵

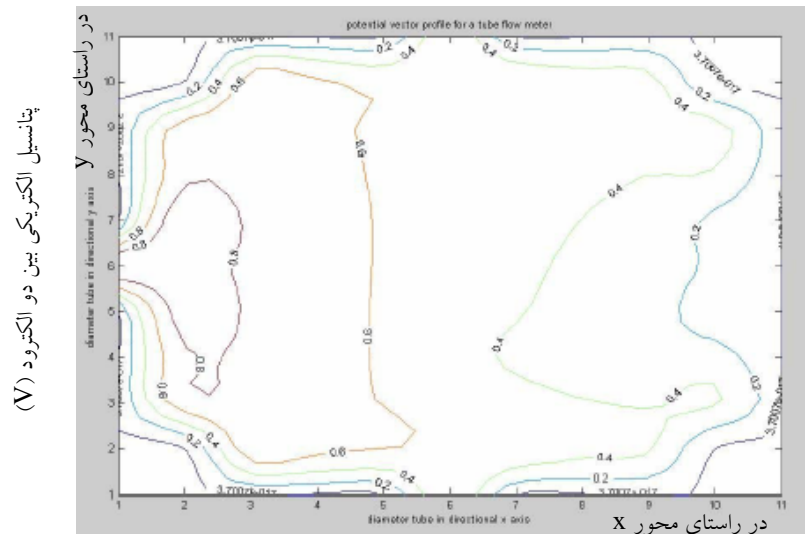
رابطه اخیر، مقدار ضریب تصحیح را برای تمام مقادیر ضرایب رسانایی دیواره لوله و مایع ($S_{w,t}$) و همچنین سطح مایع (h) در حین اندازه‌گیری شار عبوری در یک فلومیتر الکترومغناطیسی، مشخص می‌کند. همچنین از نتایج جدول (۱) نیز مشخص است که تعیین ضریب تصحیح با استفاده از شبکه‌های عصبی دارای خطایی کمتر از $\%2/5$ می‌باشد. از این رو، نتایج به دست آمده، به روشنی دقت شبکه‌های عصبی را (همراه با سرعت بالای آن) در تعیین این ضریب و در روند طراحی فلومیترهای الکترومغناطیسی نمایش می‌دهد.

تغیرات پتانسیل الکتریکی بین دو الکترود در حالت‌های مختلف سطح مایع. در این قسمت، نتایج

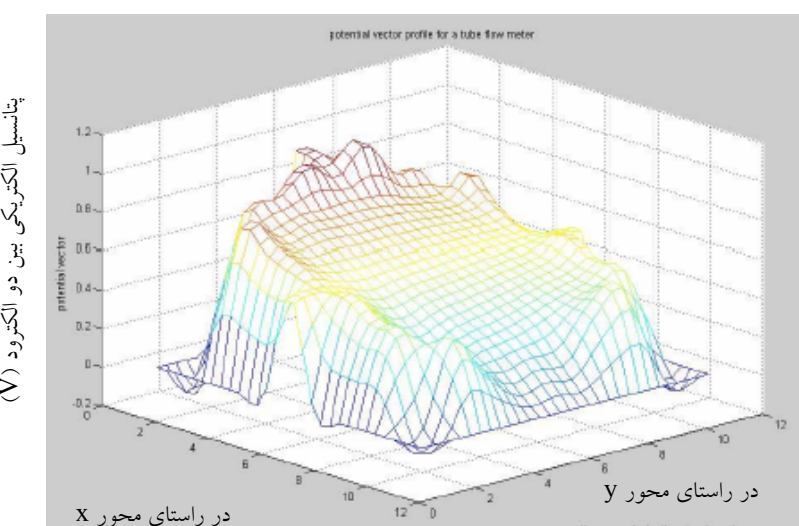


شکل ۹ نمایش توزیع پتانسیل الکتریکی بین دو الکترود در حالت توپر بودن لوله؛ (الف) نمایش دوبعدی (ب) نمایش سه بعدی

طراحی فلومیتر الکترومغناطیسی برای ...

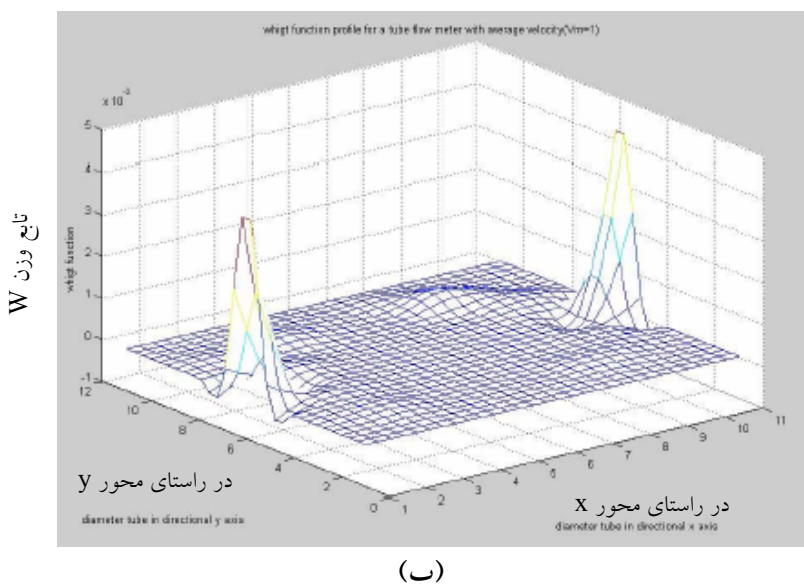
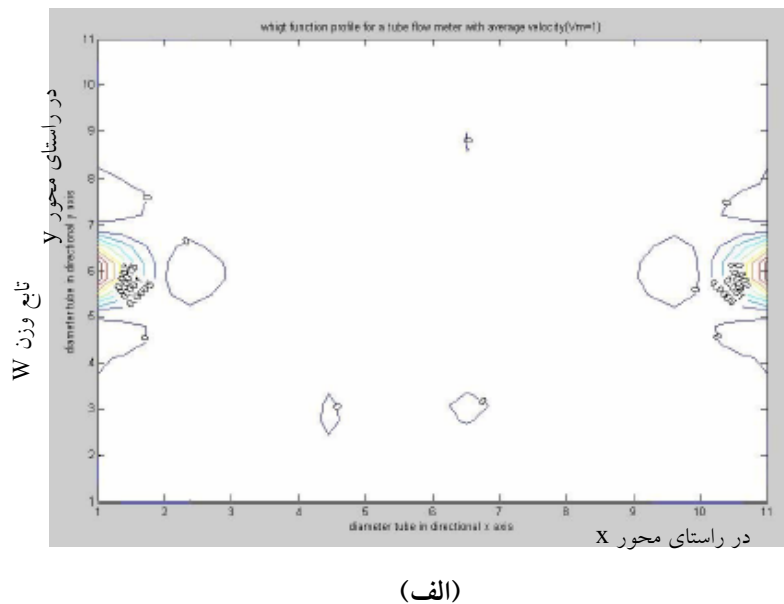


(الف)



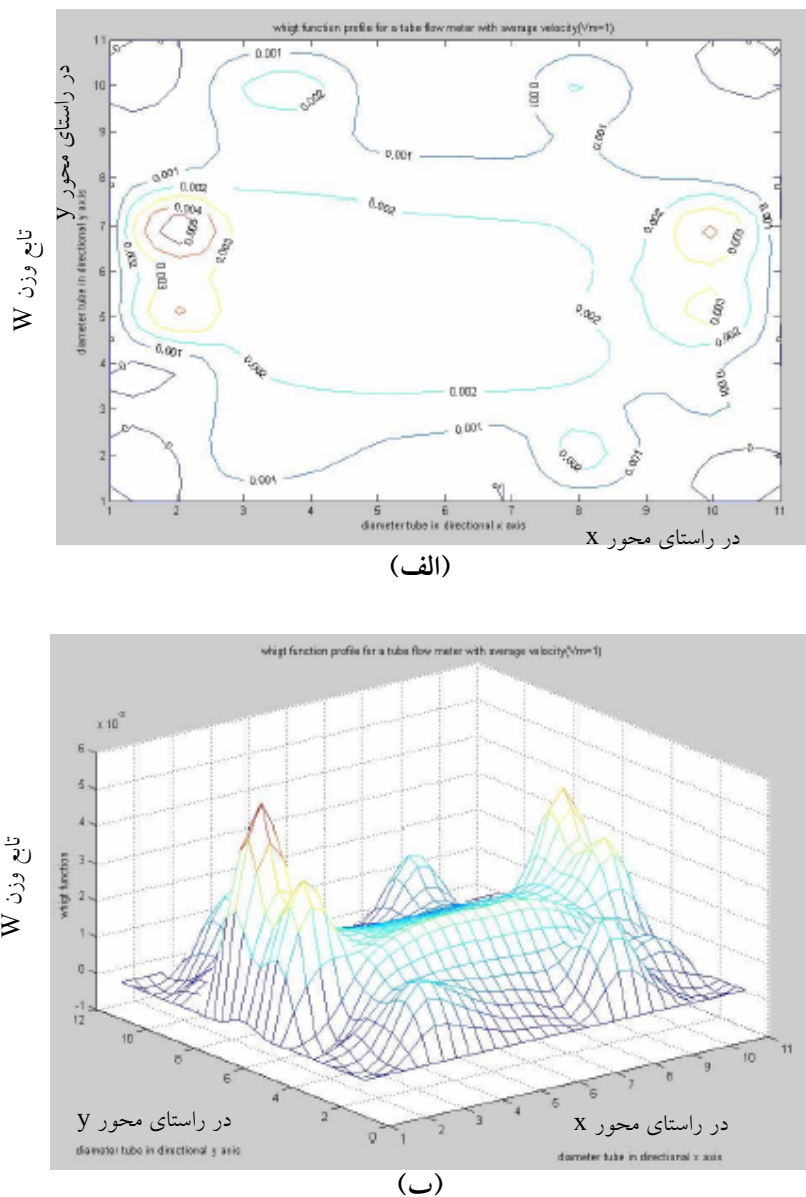
(ب)

شکل ۱۰ نمایش توزیع پتانسیل الکتریکی بین دو الکترود با ۶۰٪ سطح مایع در لوله؛ (الف) نمایش دوبعدی (ب) نمایش سهبعدی



شکل ۱۱ نمایش تابع توزیع وزن داخل فلومیتر برای سرعت ثابت $v_m = 1\text{m/sec}$
در حالت توپر بودن لوله؛ (الف) دو بعدی (ب) سه بعدی

طراحی فلومیتر الکترومغناطیسی برای ...

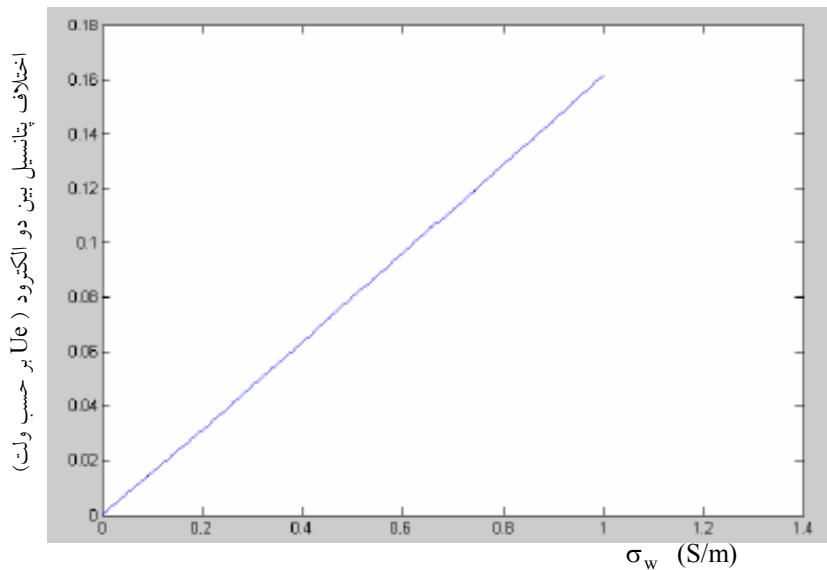


شکل ۱۲ نمایش تابع توزیع وزن داخل فلومیتر برای سرعت ثابت $V_m = 1\text{m/sec}$ با 60% سطح مایع در لوله؛ (الف) دو بعدی (ب) سه بعدی

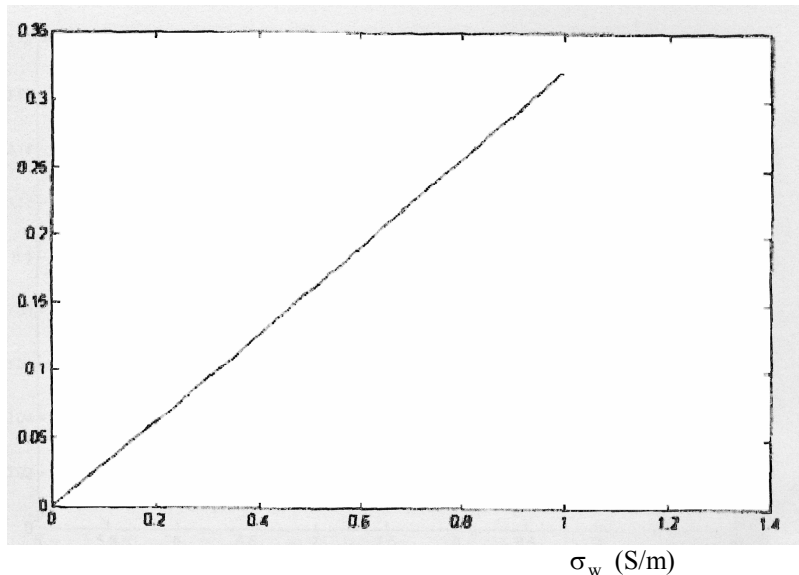
ثانیه نشان می‌دهد. همان‌گونه که از این شکل‌ها مشخص است، با افزایش ضریب رسانایی مایع عبوری (افزایش σ_w)، ولتاژ القایی بین دو الکترود، افزایش می‌یابد که البته نحوه تغییرات آن به صورت تقریباً خطی است. همچنین از مقایسه این دو شکل درمی‌یابیم که با افزایش سرعت مایع از 1m/sec به 2m/sec ، میزان ولتاژ القایی نیز تقریباً دو برابر می‌گردد.

عبوری، بیشترین تاثیر را در ولتاژ القاء شده خواهد داشت.

اثرات ضریب رسانایی مایع در ولتاژ القایی. شکل‌های (۱۳) و (۱۴) ولتاژ القاء شده بین دو الکترود را به‌ازای تغییرات در ضریب رسانایی مایع عبوری از داخل فلومیتر و به‌ازای سرعت‌های مختلف مایع با مقادیر ۱ و ۲ متر بر

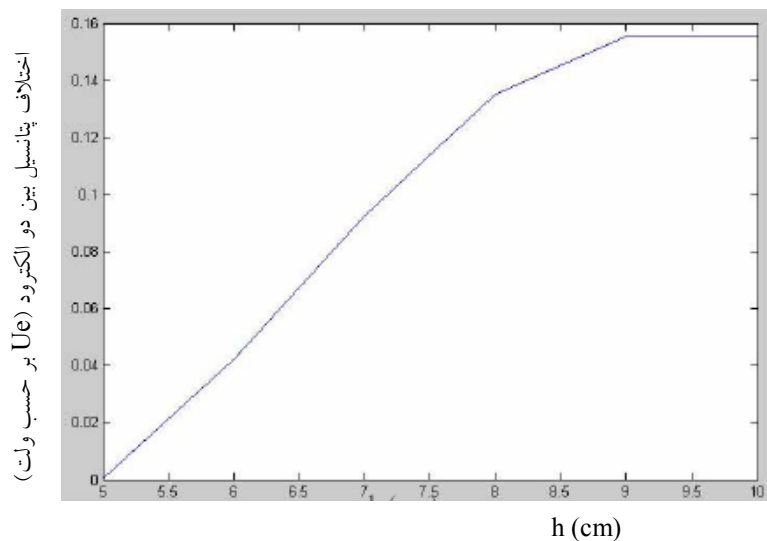


شكل ۱۳ ولتاژ القا شده بین دو الکترود در شرایط $v_m = 1 \text{ m/sec}$ و سرعت ثابت $\sigma_t = 0/1 \text{ S/m}$

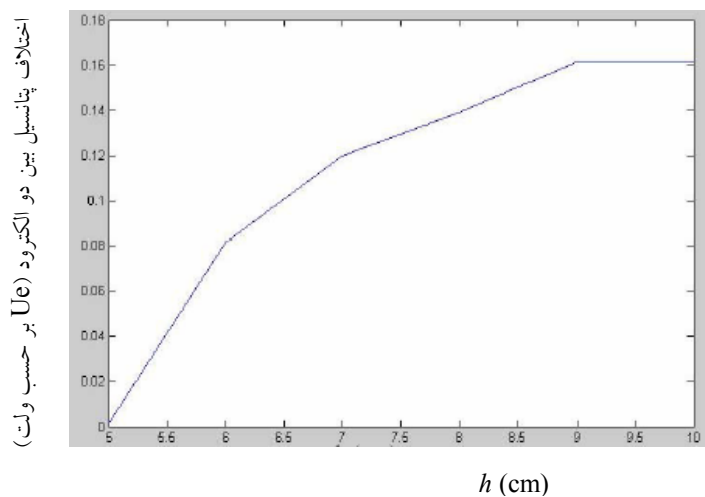


شكل ۱۴ ولتاژ القا شده بین دو الکترود در شرایط $v_m = 2 \text{ m/sec}$ و سرعت ثابت $\sigma_t = 0/1 \text{ S/m}$

طراحی فلومیتر الکترومغناطیسی برای ...



شکل ۱۵ ولتاژ القاء شده بین دو الکترود با تغییر در سطح آب به ازای $\sigma_w/\sigma_t = 1$



شکل ۱۶ ولتاژ القاء شده بین دو الکترود با تغییر در سطح آب به ازای $\sigma_w/\sigma_t = 10$

ارزیابی تغییرات ارتفاع سطح مایع در ولتاژ القاء شده بین دو الکترود، فلومیتر الکترومغناطیسی موردنظر، شبیه‌سازی شده که نتایج آن در شکل‌های (۱۵) و (۱۶) آورده شده است. این دو شکل برای نسبت‌های ضریب رسانایی مایع به سطح لوله، برابر ۱ و ۱۰ می‌باشد. با مقایسه نتایج این دو شکل در می‌باییم که با افزایش سطح

از این رو، در صورتی که ضریب رسانایی مایع عبوری، تغییر نکند، افزون بر آنکه تغییرات ولتاژ القایی نسبت به تغییرات σ_w رابطه خطی دارد، نسبت به تغییرات سرعت مایع عبوری نیز تغییرات خطی خواهد داشت. اثرات ارتفاع سطح مایع در ولتاژ القایی. به منظور

برخوردار باشد. همچنین نحوه تغییرات ولتاژ القایی بین دو الکترود و تابع توزیع وزن به‌ازای حالت‌های توپر بودن لوله و ۶۰٪ سطح مایع و اثرات ضربی رسانایی مایع و ارتفاع سطح آن بر روی این ولتاژ، مورد بررسی و تحلیل قرار گرفته است. کاربرد این نحوه اندازه‌گیری نرخ فلوئی سیال برای مایعات، بسیار وسیع می‌باشد و به‌طور کلی می‌تواند برای هر نوع مایع رسانا نظری اسیدها و پلیمرها در صنعت شیمی و مایعات رادیواکتیویته و مخصوصاً پس‌آب‌ها مورد استفاده قرار گیرد. همچنین دو مورد مدل عددی و تابع ضربی تصحیح k_{hs} برای تغییراتی که در این طراحی وجود داشتند و محاسبه گردیده‌اند، کالیبراسیون خشک برای فلومیتر را مقدور می‌سازد. این تغییرات k_{hs} شامل سطح مایع، ضربی رسانایی مایع و دیواره لوله می‌باشد. بنابراین، یک تابع انتقال برای فلومیتر و تخمین خطای اندازه‌گیری به‌علت تغییر مشخصات فلوئی مایع را می‌توان در طول مراحل طراحی به‌دست آورد.

مایع در داخل لوله (به‌شرط ثابت بودن سرعت مایع عبوری)، اختلاف پتانسیل بین دو الکترود افزایش می‌یابد. البته در صورتی که لوله در وضعیت تقریباً توپر قرار گیرد، ولتاژ القایی ثابت خواهد ماند. گفتنی است با توجه به آنکه الکترودها را به‌صورت نقطه‌ای در نظر گرفته‌ایم، برای یک فلومیتر با مقطع دایره‌ای، سطح مایع نباید کمتر از نصف لوله باشد؛ زیرا به‌ازای حالت‌هایی که سطح مایع عبوری، تماسی با الکترودها نداشته باشد آنگاه ولتاژ القایی به‌وجود آمده نیز مقادیر دقیق و قابل قبولی را برای اندازه‌گیری به نمایش نمی‌گذارد.

نتیجه گیری

در این مقاله، آنالیز و طراحی فلومیترهای الکترومغناطیسی برای مایعات رسانا به شکل مناسبی ارائه شده است. در این طراحی، با استفاده از شبکه‌های عصبی، کالیبراسیون این نوع فلومیترها انجام گردیده است تا نتایج شبیه‌سازی بعدی از دقت بسیار زیادی

مراجع

1. J. A. Shercliff, ‘The Theory of Electromagnetic Flow Measurement’, London, Cambridge, U.K.: Cambridge University Press, pp. 10-35, (1962).
2. A. Michalski, and S. Wincenciak, ‘Weight Vector in Designing of Primary Transducers for Electromagnetic Flowmeters’, *Archives Electronic Engineering*, Vol. XLVII, No. 183-1, pp. 81-99, (1998).
3. M. K. Bevir, ‘The Theory of Induced Voltage Electromagnetic Flowmeters’, *Journal of Fluid Mechanics*, Vol 43, part 3, pp. 577-590 (1970).
4. E. G. Strangas, and T. W. Scott, ‘Design of a Magnetic Flowmeter for Conductive Fluids’, *IEEE Transactions on instrumentation and measurement*, Vol. 37, No. 1, pp. 35-38, (1998).
5. R. C. Baker, ‘Flow Measurement Handbook: Industrial Design, Operating, Performance, and Applications’, Cambridge University Press, (2005).
6. A. Michalski, J. Starzynski, and S. Wincenciak, ‘Optimal Design of the Coils of the Electromagnetic Flowmeter’, *IEEE Transactions on Magnetics*, Vol 34, No. 5, pp. 2563-2566, (1998).

طراحی فلومیتر الکترومغناطیسی برای ...

7. J. E. Cha, Y. C. Ahn, and M. H. Kim, 'Flow measurement with an electromagnetic flowmeter in two-phase bubbly and slug flow regimes', *Flow Measurement and Instrumentation*, Vol. 12, No. 2, pp. 329-339., (2002).
8. A. Michalski, 'Dry Calibration Procedure of Electromagnetic Flowmeter for Open Channels', *IEEE Transactions on Instrumentation and Measurement*, Vol. 49, No. 2, pp. 435-438, (2000).
9. A. Michalski, 'Flow Measurement in Open Irrigation Channels', *IEEE Instrumentation and Measurement Magazine*, Vol. 3, No. 3, pp. 12-16, (2000).
10. A. Michalski, J. Starzynski, and S. Wincenciak, 'Electromagnetic Flowmeters for Open Channels-Two Dimensional Approach to Design Procedures', *IEEE Sensors Journal*, Vol. 1, No. 1, pp. 52-61, (2001).
11. B. Li, J. Yao, and X. Li, 'The Analysis and Application of the Rectangular Electromagnetic Flowmeter', *IEEE Instrumentation and Measurement Technology Conference*, Vail, CO, USA, May, pp. 490-494., (2003).